

本川発電所地下空洞掘削時の周辺岩盤の挙動について

四国電力(株)

中島 弘

四国電力(株) 正冒 ○武山正人

四国電力(株) 森 康英

1. まえがき

地下発電所のような大空洞を掘削する場合重要な問題は、緻密なる地質調査と岩盤物性値の評価およびそれらにともぐく地下空洞周辺岩盤の挙動の把握にあると思われる。ここにおいては、四国電力(株)が現在建設中である本川発電所(総揚水式60万kW, L 98m × W 24.3m × H 47.4m)の地下空洞掘削時に観測された空洞周辺岩盤の挙動実績をもとに、F.E.M.による推定値との比較検討を行ない地下空洞の安定性について考察を行なった。

2. 地質・計測項目

本川発電所建設地点の地質は、主に泥質片岩(黒色片岩)よりなり、硅化が著しく微褶曲にとんでり。走行はほぼE-W方向、傾斜は0~30°南落ちとなっており、地下発電所近傍においては大半がCH級以上の堅硬な岩盤で、湧水もなく安定した状況を呈している。この岩盤の諸物性は表-1に示す。地下空洞掘削時の施工管理を主目的として以下の項目の計測を実施した。

表-1 岩盤物性値

項目	物性値	備考
R.D.	67.3~75.2%	
第Ⅰ回路	6.6~10.1/km	
木 ル オ ブ	0.04~0.27 LU	
リコーキラ ー 計度	2.74	
一輪強度	101~831 kg/cm ²	
弹性係数	10.1~18.9 ×10 ⁴ kg/cm ²	シキ・テスト 日研機器 ロクイ・テスト 日研機器 オーバー アーリング
セん断強度	C=32.1 kg/cm ² φ=47°±1°	
初期応力	σ ₁ =92, σ ₂ =55, σ ₃ =48 kg/cm ²	

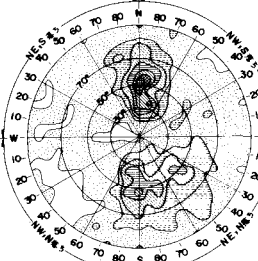


図-1 断層・シームのステレオプロット (N = 497)

3. 計測方法

A-4上部岩盤の変位測定は図-2に示すようにA,B,Cの3断面で実施し、l=30m, 5m間の垂直相対変位測定を行なった。変位計はA-4部頂設導坑より中76%ボーリングを実施し、アンカ一部はバッカーブラウトにより定着を行ない、変位伝達はステンレスロッド(Φ10mm)を用いた。側壁岩盤の水平変位測定はA-4部測定断面に対応し計5断面(A,B,C,D,E)で実施し、側壁の上部(A-4・アベット部)と中間部に当子ニ平面に配置した。変位計は地下空洞を取り囲むトネルより中87%パーカッションドリルにより穿孔し、2段および3段式変位計を設置した。

地下空洞周辺岩盤のひずみ分布測定は、ひずみ計を50cmピッチに連結し、ボーリング孔にグラウトにより埋設設置した。測定範囲は地下空洞掘削面より10mの範囲とした。内空変位の測定はコンバージェンスメジャー(Interferometer)を用いて行ない、PCアンカーの緊張力の変化は、アンカー・プレート部にロードセル(50t用, 100t用)を設置して測定を行なった。図-4にその計測システムブロック図を示す。

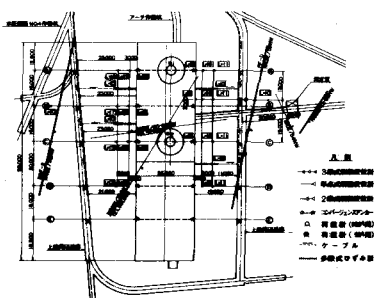


図-2 測定計器設置平面図

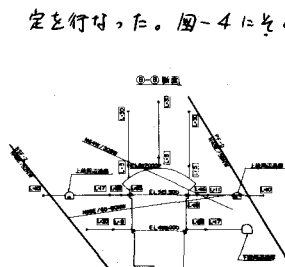


図-3 測定計器設置断面図

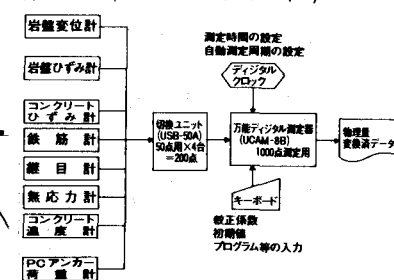


図-4 計測システムブロック図

4. 計測結果（昭和55年3月現在）

アーチ部上部岩盤の変位は、アーチリングカットの切羽が測定点より9m程度に近づくと明瞭な沈下傾向を示し切羽の影響をうけていることがわかった。変位量はアーチクラウン部で最大8%～10%，アベット部で3%～5%程度の沈下変位となった。この変位量は大半がアーチリングカット時に発生しており、特にクラウン部においては約95%がそれである。また、アーチ・アベット部においては65%程度がアーチリングカット時に発生しており、クラウン部より岩盤のゆるみはかな目であると推定されるが、以後の空洞本体盤下げに際しては徐々にゆるみの進展がおこるものと考えられる。

側壁岩盤の水平変位は、図-6に示すように盤下げが約17m完了した時点（昭和55年3月）で4%～5%のはらけ出しが測定されており、現在、昭和55年6月完了を目指す空洞本体の盤下げを継続中であり、今後の測定データを待ちたい。地下空洞周辺岩盤内に設置した多段式岩盤ひずみ計は、空洞掘削とともに、 -800×10^{-6} （圧縮）～ 6000×10^{-6} （引張）の現状値を示しており岩盤内には引張Y-コンと圧縮Y-コンとが分布していることが判明している。

5. 考察

現在の地下発電所空洞の掘削の進捗状況は、掘削量($V = 9000 \text{ m}^3$)で約85%，掘削高さ($H = 47.4 \text{ m}$)で2/3程度である。今まで種々の計測を実施した結果を用いて、F.E.M.弾塑性解析による周辺岩盤の挙動予測との対比を行なった。図-7、図-8にその結果を示す。計算に用いた物性値は表-2に示す。

アーチクラウン部の変位については、(1) $\ell = 30 \text{ m}$ 間の変位実測値は3断面ともに良好な一致を示しており、ほぼB級岩盤(B_1, B_2)の解析結果に相当する。

(2) $\ell = 5 \text{ m}$ 間の変位実測値は何れもばらつきが大きく解析結果とは合わない。これは局所的な地質の影響（断層・シーム）が大きいと思われる。

側壁部の変位は解析結果と良好な一致を示しており、ほぼB級岩盤(B_1, B_2)の解析結果に相当している。

物性値	C_{f}	C_{m}	B_{f}	B_{m}
変形係数	$D_{\text{f}} = 8$	12	20	20
D_{m}	6	8	10	15
ボアソン比	$\nu_{\text{f}} = 0.25$			
せん断強度	$G_{\text{f}} = 17.3$	25.9	32.4	46.7
クリープ係数	$\alpha = 0.7$	$\beta = 1.0$		

表2 解析に用いた物性値

NO.2 岩盤変位計変位量図

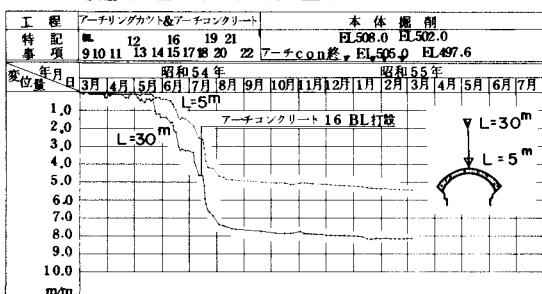


図-5 アーチ部上部岩盤の変位測定結果

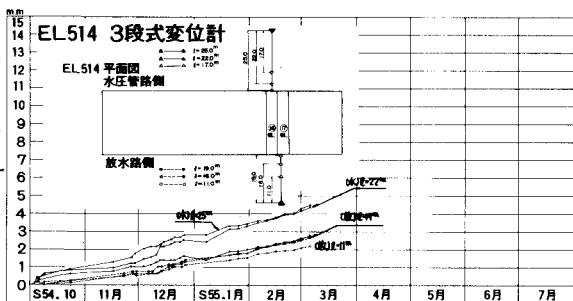


図-6 側壁部岩盤の変位測定結果

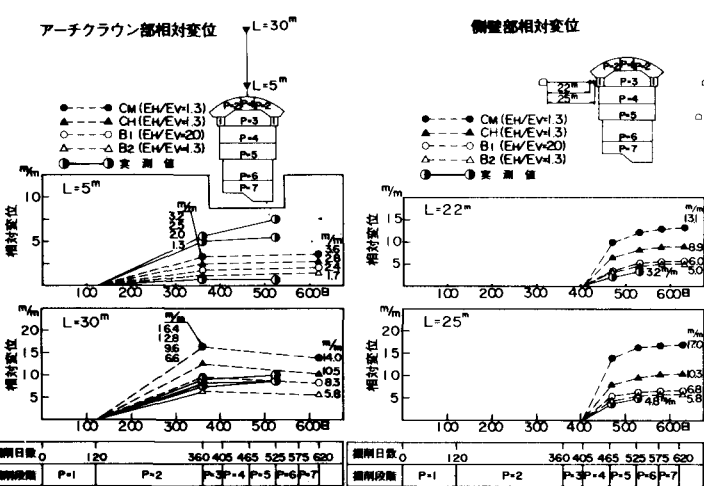


図-7 アーチ部の変位比較

図-8 側壁部の変位比較